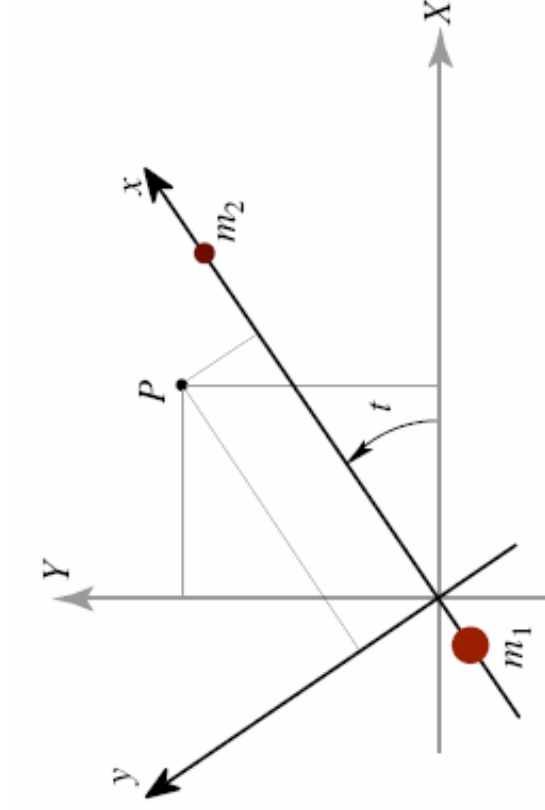


O Problema de 3 Corpos Restrito Circular

No Problema Restrito de 3C Circular (PR3CC) temos 2 *primários* de massas m_1 e m_2 que movem-se em círculos, em torno de seu centro de massa; o *menor* (3º corpo) move-se na presença do campo gravitacional dos primários (sem afetá-los, dado que $m_3 \ll (m_1, m_2)$).



É importante considerar tanto o caso planar como o espacial.

Caso planar:
3 corpos num mesmo plano.

Caso espacial: 2 primários em um plano e 3º corpo no espaço 3D.

Vamos focar o caso planar.

Usualmente, o movimento é visto em um referencial girante x-y, de modo que os primários parecem estáticos.

Normaliza-se a velocidade de angular do sistema girante a unidade e, também, a distância entre os primários a unidade de modo que estes se localizem no eixo x em $(-\mu, 0)$ e $(1-\mu, 0)$,

$$\text{onde } \mu = \frac{m_2}{m_1 + m_2}, m_1 > m_2.$$

Seja (x, y) a posição do 3º corpo no sistema baricêntrico sinódico.

As equações de movimento são dadas por:

$$\begin{aligned} \ddot{x} - 2\dot{y} &= \Omega_x & \text{onde} & & \Omega &= \frac{x^2 + y^2}{2} + \frac{1-\mu}{r_1} + \frac{\mu}{r_2} + \frac{\mu(1-\mu)}{2}, \\ \ddot{y} + 2\dot{x} &= \Omega_y & & & r_1^2 &= (x-\mu)^2 + y^2, \quad r_2^2 = (x+1-\mu)^2 + y^2, \end{aligned}$$

A Integral de movimento J define uma variedade invariante 3D:

$$\begin{aligned} \mathcal{M}(\mu, C) &= \{(x, y, \dot{x}, \dot{y}) \in \mathbf{R}^4 \mid J(x, y, \dot{x}, \dot{y}) = \text{constante}\}, \\ J(x, y, \dot{x}, \dot{y}) &= 2\Omega(x, y) - (\dot{x}^2 + \dot{y}^2) = C. \end{aligned}$$

C é associada à energia do 3º corpo e é a chamada [constante de Jacobi](#).
(\mathcal{M} restringe o movimento no espaço de fase 4D a uma variedade invariante 3D)

Pontos Lagrangeanos

Este sistema dinâmico possui 5 pontos de equilíbrio, definidos por :

$$\frac{\partial J}{\partial x} = \Omega_x = 0, \quad \frac{\partial J}{\partial y} = \Omega_y = 0, \quad \frac{\partial J}{\partial \dot{x}} = 0 \Rightarrow \dot{x} = 0, \quad \frac{\partial J}{\partial \dot{y}} = 0 \Rightarrow \dot{y} = 0.$$

Estes pontos são chamados **Lagrangeanos**, sendo:

- 3 colineares:
 L_1 , L_2 e L_3 localizados ao longo do eixo-x (*pontos sela-centro*);
- 2 triangulares:
 L_4 e L_5 estão nos vértices de triângulos equiláteros, (*estáveis*, se $m_1/m_2 > 24,96$).

O valor da constante de Jacobi nestes pontos é denotada por C_k , $k=1,2,3,4,5$.

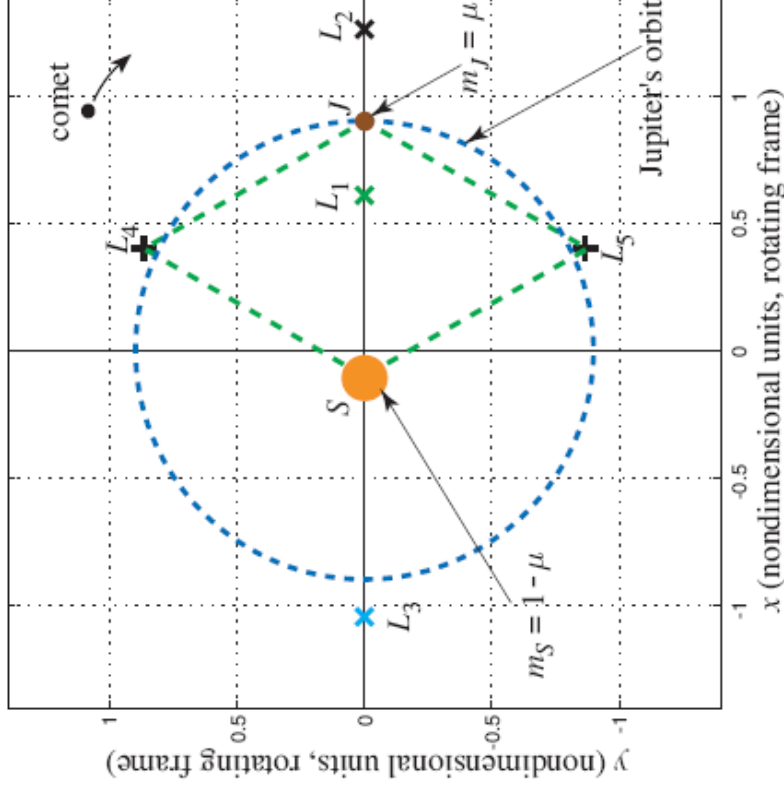


Fig.: Sistema Sol-Júpiter-Cometa

A projeção da superfície \mathcal{M} no espaço de posições é chamada **Região de Hill^(*)**, $M(\mu, C) = \{(x, y) | \Omega(x, y) \geq C/2\}$ e constitui a região acessível às trajetórias para um dado valor de C .

Pois:

$$\dot{x}^2 + \dot{y}^2 = 2\Omega(x, y) - C \geq 0$$

Uma **Região de Hill** é limitada pela curva de velocidade zero, denominada **Curva de Hill**.

P/ o Sistema Terra-Lua:

$$C_1 \approx 3,20034$$

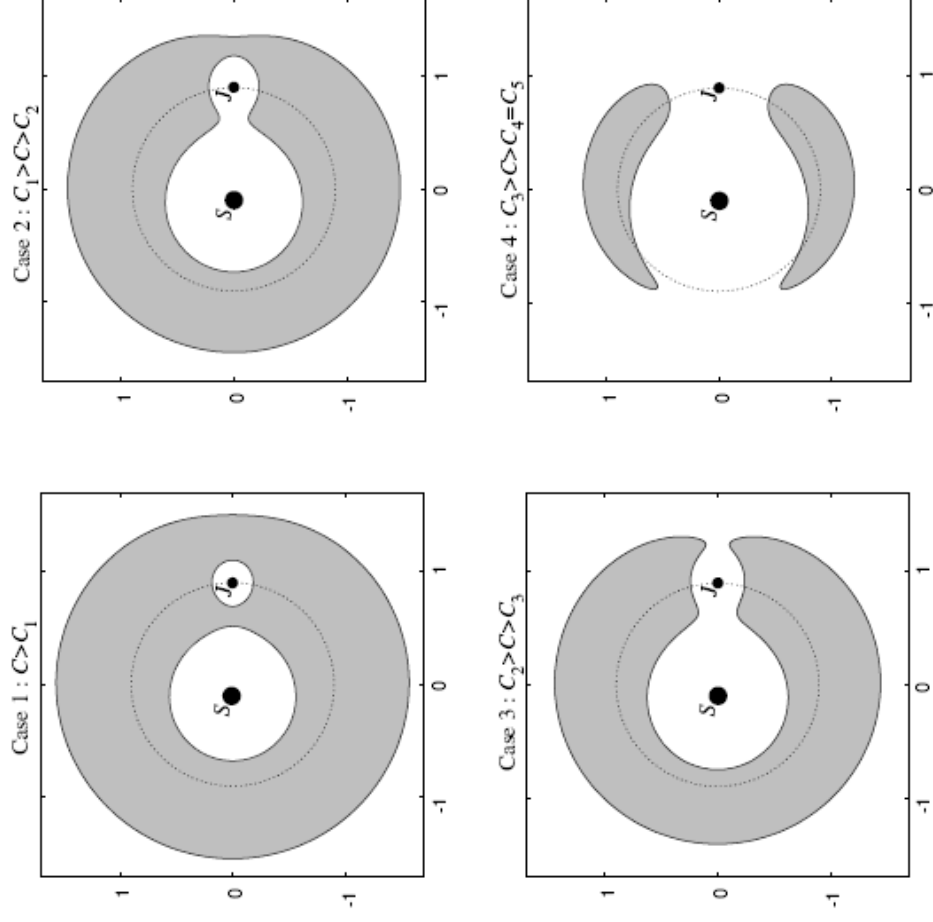
$$C_2 \approx 3,18416$$

$$C_3 \approx 3,02415$$

$$C_4 = C_5 = 3$$

(*) Devido a George William Hill (1838-1914).

5 Possibilidades de Regiões de Hill



Caso 5: $C < C_4$ Todo plano é acessível.

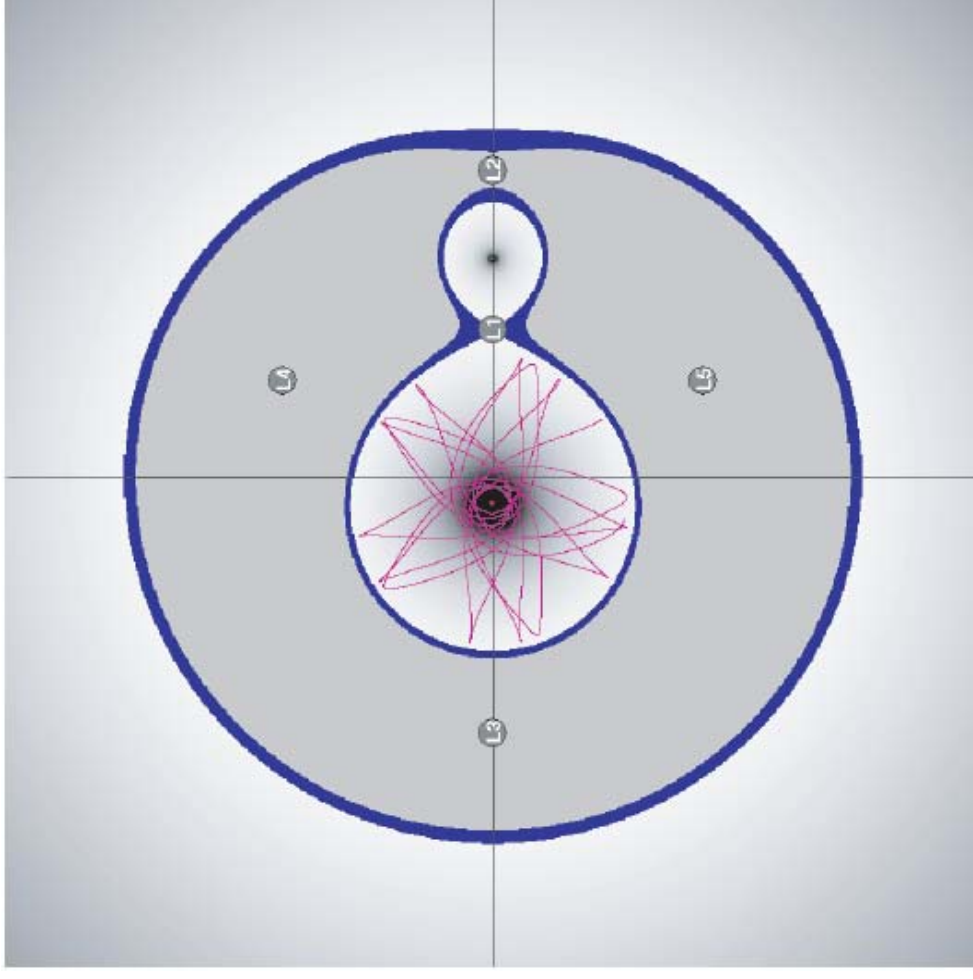


Fig. 33. Zero-velocity curves in a rotating frame for an asteroid close to the Sun (*large black spot*) or a satellite around a planet (*small black point*). The grey region can never be penetrated by a third body moving either close to the planet, close to the Sun or far outside both primaries. The small circles show the so-called Lagrange points of equilibrium (*for an explanation see in the text*)

Ref.: *Chaos and Stability in Planetary Systems*, R.Dvorak, F.Freistetter, J.Kurths (Eds.), Lecture Notes in Physics 683, Springer, 2005.

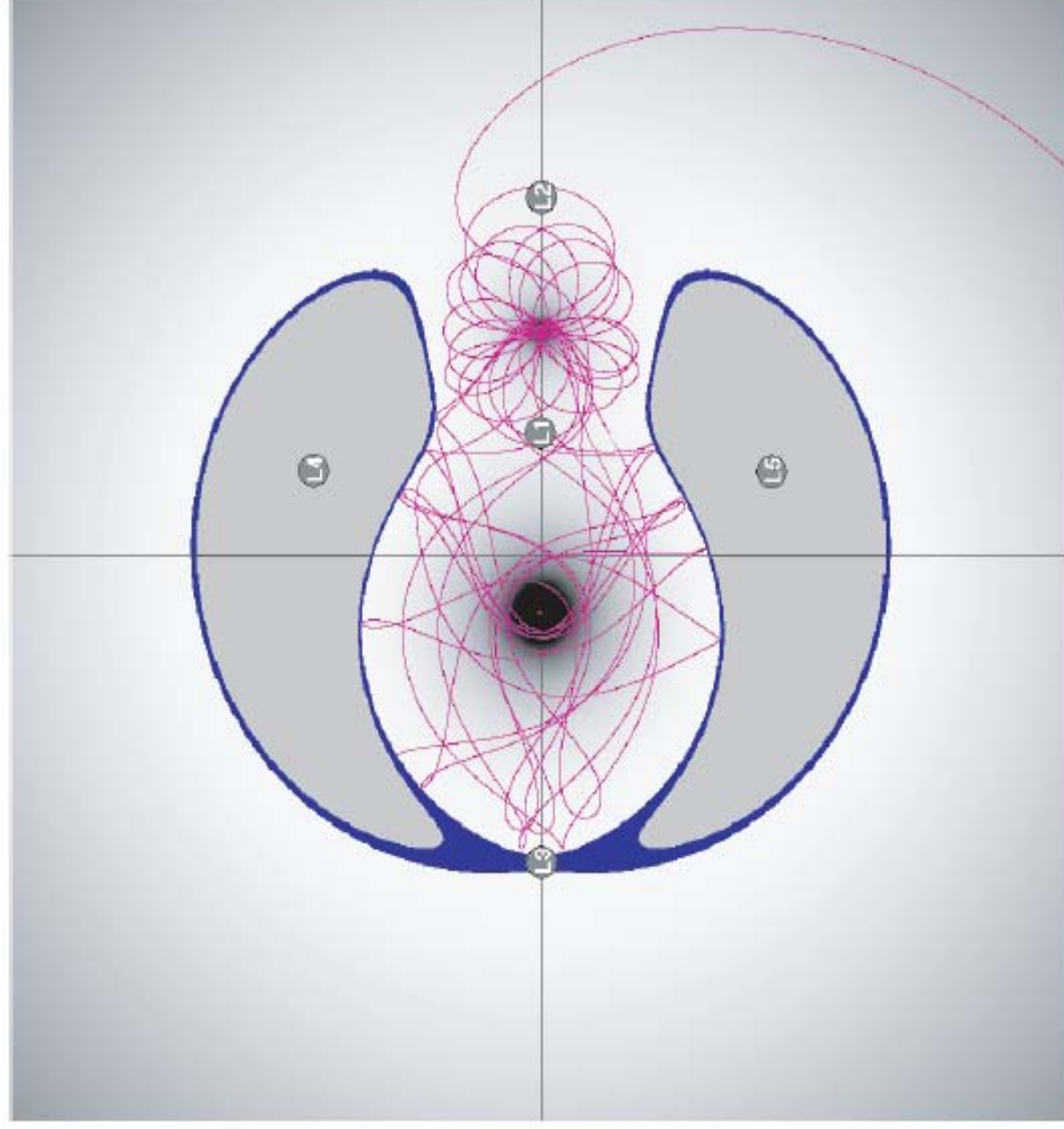
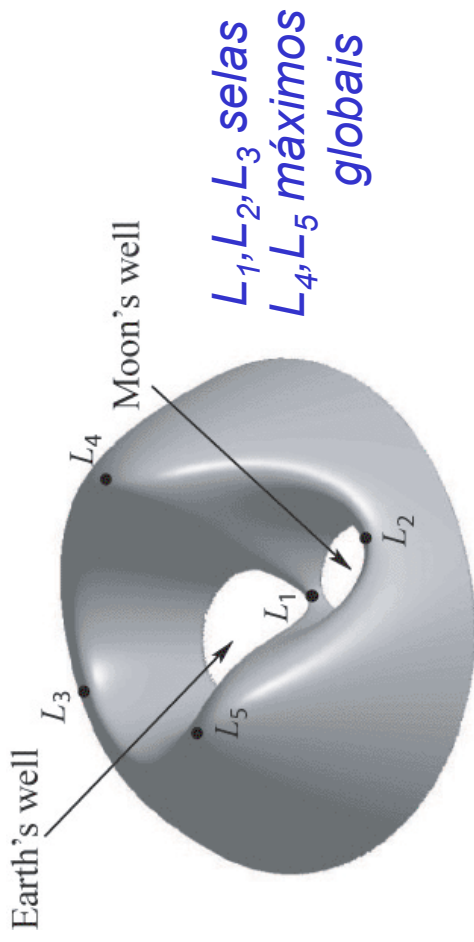
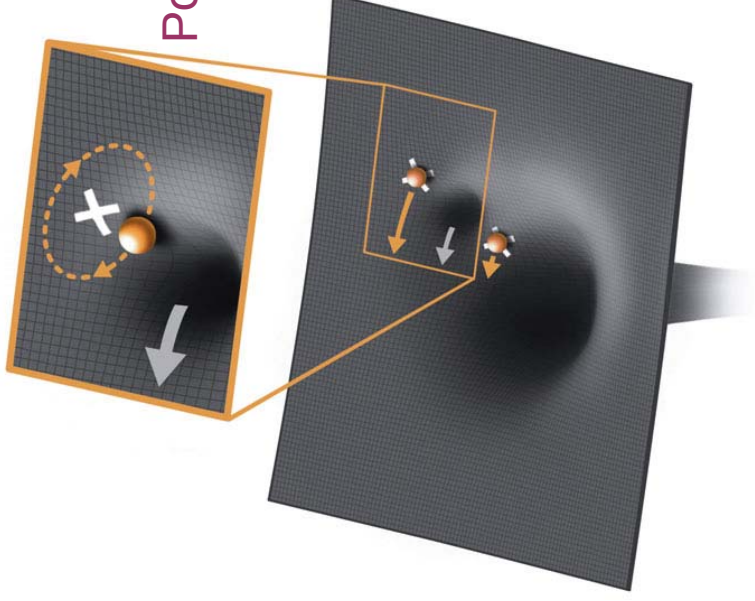


Fig. 35. Zero-Velocity Curve in a rotating frame for a body (*comet*) which can escape from the region around the Sun and the planet (*caption like in Fig. 33*)



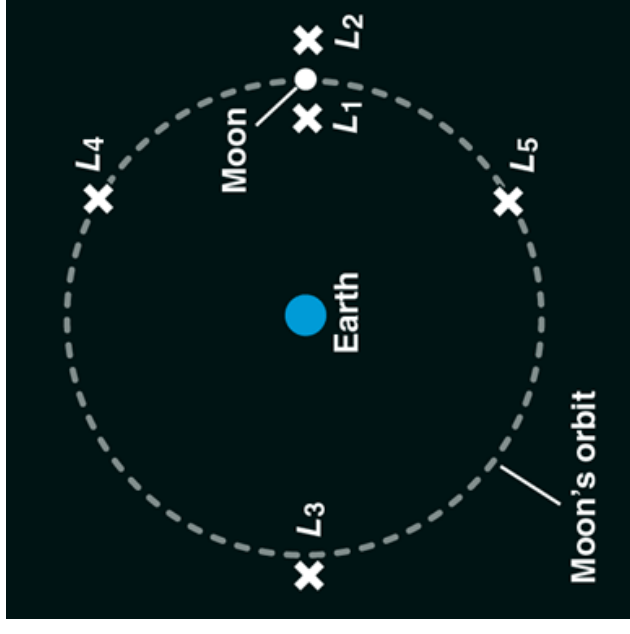
Potencial Efetivo do Sistema Terra-Lua

$$U(x, y) = -\Omega + \mu(1 - \mu)/2$$



Pontos Lagrangeanos
no Sist. Terra-Lua

Possibilidade de uma EN orbitar um dos Pontos
Lagrangeanos



Valores do Parâmetro *para o Sistema:*

Terra-Lua $\mu=0,01211506683$

Sol-Júpiter $\mu=0,0009537$

Sol-Terra $\mu=0,000003$

System	μ
Sun-Jupiter	9.537×10^{-4}
Sun-(Earth+Moon)	3.036×10^{-6}
Earth-Moon	1.215×10^{-2}
Mars-Phobos	1.667×10^{-8}
Jupiter-Io	4.704×10^{-5}
Jupiter-Europa	2.528×10^{-5}
Jupiter-Ganymede	7.804×10^{-5}
Jupiter-Callisto	5.667×10^{-5}
Saturn-Mimas	6.723×10^{-8}
Saturn-Titan	2.366×10^{-4}
Neptune-Triton	2.089×10^{-4}
Pluto-Charon	1.097×10^{-1}

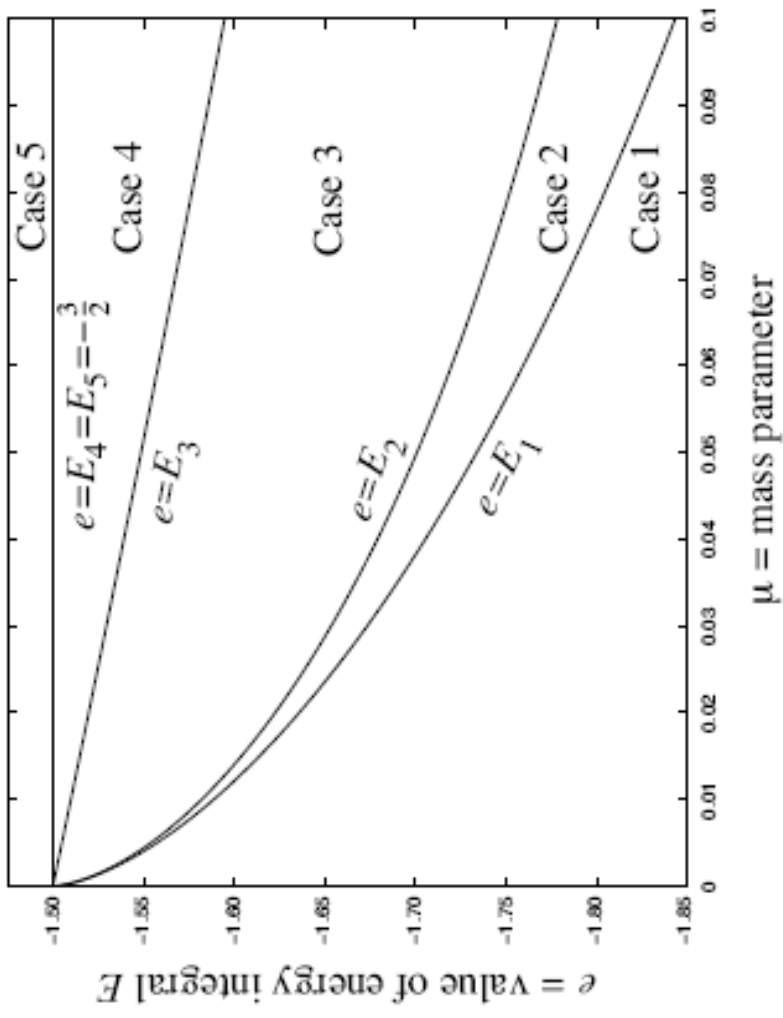


Fig.: Valores de $C_k = -2E_k$ para os 5 pontos Lagrangeanos em função de μ . Estes valores separam os 5 casos de Regiões de Hill.

Se $m_2 < m_1$, então L_1 e L_2 estão aproximadamente a mesma distância r do secundário menor, igual ao raio da Esfera de Hill:

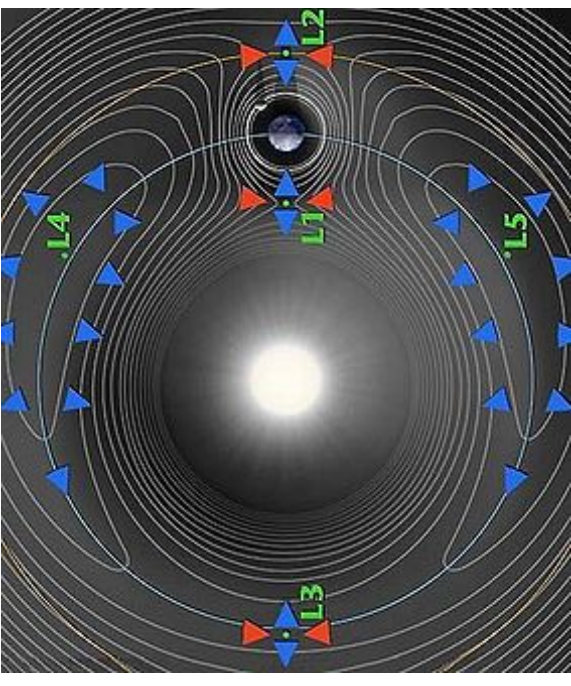
$$r \approx R \sqrt[3]{\frac{m_2}{3m_1}}$$

onde R é a distância entre os 2 primários.

Exemplos: Valores de r para:

Sol e Terra: 1.500.000 km da Terra

Terra e Lua: 61.500 km da Lua = 16% d_{TL}



Órbitas Periódicas em Torno dos Pontos Lagrangeanos

Em torno dos Pontos de Equilíbrio existem Órbitas Periódicas, que são chamadas *Órbitas de Lyapunov no Problema Planar* e *Órbitas Halo no Problema Espacial*.

A estabilidade de órbitas periódicas é definida pelo estudo da chamada Matriz de Monodromia.